

### 3. ENERGII ȘI FORȚE ÎN CÂMP MAGNETIC

#### 3.1. Energia câmpului magnetic

Fie un sistem de  $n$  spire perfect conductoare parcurse de curenții  $i_k$  și având fluxurile  $\varphi_k$  (Fig.3.1). Mediul din jurul spirelor este perfect izolant. Peretele incintei este perfect conductor.

Pentru a crește curenții spirelor și energia din incintă, introducem în fiecare spirală o sursă ideală de tensiune. Puterea debitată de sursă conduce la apariția curenților  $i_k$  și a fluxurilor  $\varphi_k$ , deci conduce la apariția câmpului magnetic în domeniul  $\Omega$  din afara spirelor. Fie o curbă  $\Gamma_k$  ce trece prin interiorul părții perfect conductoare a spirei  $k$  și se închide pe la bornele sursei. Aplicăm pe această curbă închisă legea inducției electromagnetice:

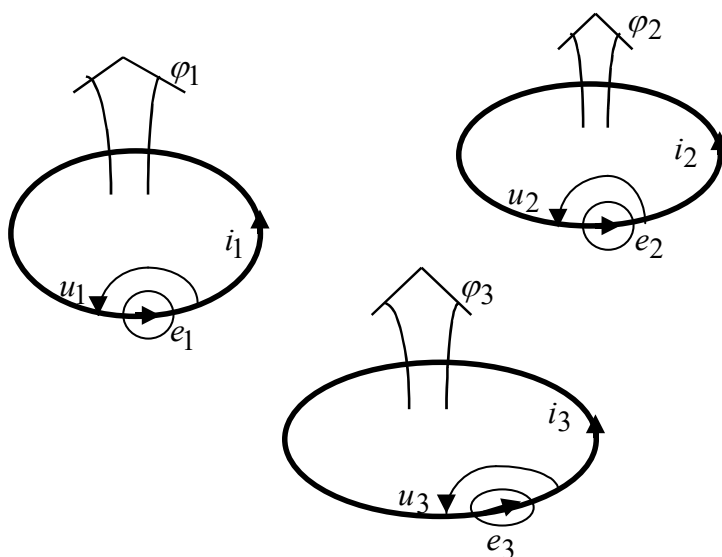


Fig. 3.1. Energie primită de sistemul format din spire și câmp magnetic.

$$\oint_{\Gamma_k} \mathbf{E} \cdot d\mathbf{l} = \int_{\text{interior}} \mathbf{E} \cdot d\mathbf{l} + \int_{\text{borne}} \mathbf{E} \cdot d\mathbf{l} = 0 - u_k = -\frac{d\varphi_k}{dt}$$

Puterea debitată de sursă este:

$$p_k = u_k i_k = i_k \frac{d\varphi_k}{dt}$$

Energia pe care o primește sistemul format din spire și din câmpul magnetic este deci:

$$dW = \sum_{k=1}^n p_k dt = \sum_{k=1}^n i_k d\varphi_k = dW_m + dL \quad (3.1)$$

Am admis ca aceasta energie acopera doar cresterea energiei campului magnetic  $dW_m$  si lucrul mecanic  $dL$  pe care-l consuma corpurile din incinta in cazul in care s-ar deplasa sub influenta fortelor de natura magnetica.

Dacă ținem spirele imobile, atunci întreaga energie va fi dată câmpului magnetic. Presupunem că modificările termice din domeniul  $\Omega$  sunt neglijabile. Atunci:

$$dW_m = \sum_{k=1}^n i_k d\varphi_k \quad (3.2)$$

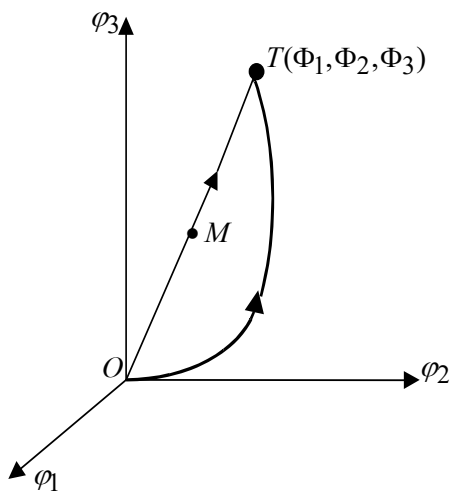


Fig. 3.2 Spațiul stărilor  $\varphi_1, \varphi_2, \varphi_3$ .

Conform teoremei de unicitate, fluxurile spirelor definesc unic câmpul magnetic, deci ele sunt variabile de stare pentru câmpul magnetic. Curenții  $i_k$  sunt funcții de  $\varphi_k$ . Pentru a determina energia câmpului magnetic într-o anumită stare  $T(\Phi_1, \Phi_2, \Phi_3)$ , se

integrează (3.2) între starea cu energie nulă (originea de exemplu) și punctul  $T$ , pe orice curbă din spațiul stărilor (Fig. 3.2):

$$W_m(T) = \int_0^T \sum_{k=1}^n i_k d\varphi_k \quad (3.3)$$

Rezultatul din relația (3.3) nu depinde de drum și deci, în relația (3.2), avem o diferențială totală exactă.

În cazul mediilor liniare, cel mai comod drum de integrare este segmentul  $OT$ , unde un punct oarecare  $M$  are coordonatele  $(\varphi_1, \varphi_2, \varphi_3) = \lambda(\Phi_1, \Phi_2, \Phi_3)$ , cu  $\lambda \in [0,1]$ . Dacă în punctul  $T$  avem curenții electrici  $(I_1, I_2, I_3)$ , atunci în punctul  $M$  avem  $(i_1, i_2, i_3) = \lambda(I_1, I_2, I_3)$ . Rezultă  $i_k = \lambda I_k$ ,  $d\varphi_k = \Phi_k d\lambda$  și integrala (3.3) devine

$$W_m(T) = \int_0^1 \sum_k \lambda I_k \Phi_k d\lambda = \sum_k I_k \Phi_k \int_0^1 \lambda d\lambda$$

Deci

$$W_m = \frac{1}{2} \sum_k I_k \Phi_k \quad (3.4)$$

### 3.2. Coenergia câmpului magnetic

Prin definiție, variația de coenergie este:

$$dW_m^* = d \left( \sum_{k=1}^n i_k \varphi_k \right) - dW_m \quad (3.5)$$

Ținând cont de (3.2) și dezvoltând diferențiala sumei din membrul drept, rezultă:

$$dW_m^* = \sum_{k=1}^n \varphi_k di_k \quad (3.6)$$

Conform teoremei de unicitate, curenții spirelor definesc unic câmpul magnetic, deci și aceștia pot fi considerați variabile de stare. Fluxurile spirelor  $\varphi_k$  sunt funcții de  $i_k$  (relația (2.2)). Pentru a determina coenergia câmpului magnetic într-o anumită stare  $T(I_1, I_2, I_3)$ , se integrează (3.6) între starea de coenergie nulă și punctul  $T$ , pe orice curbă din spațiul stărilor  $(i_1, i_2, i_3)$ :

$$W_m^* = \int_o^T \sum_k \varphi_k di_k \quad (3.7)$$

Rezultatul integralei (3.7) nu depinde de drum. În cazul mediilor liniare, cel mai comod drum de integrare este segmentul  $OT$ , unde un punct oarecare  $M$  are coordonatele  $(i_1, i_2, i_3) = \lambda(I_1, I_2, I_3)$ , cu  $\lambda \in [0, 1]$ . Dacă în punctul  $T$  avem fluxurile magnetice  $(\Phi_1, \Phi_2, \Phi_3)$ , atunci în punctul  $M$  avem fluxurile  $(\varphi_1, \varphi_2, \varphi_3) = \lambda(\Phi_1, \Phi_2, \Phi_3)$ . Rezultă  $\varphi_k = \lambda\Phi_k$ ,  $di_k = I_k d\lambda$  și integrala (3.7) devine:

$$W_m^*(T) = \int_0^1 \sum_k \lambda I_k \Phi_k d\lambda = \sum_k I_k \Phi_k \int_0^1 \lambda d\lambda$$

Deci:

$$W_m^* = \frac{1}{2} \sum_k I_k \Phi_k \quad (3.8)$$

Se observă că în cazul mediilor liniare energia este egală cu coenergia.

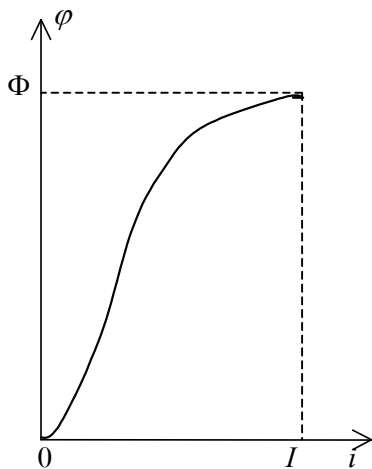


Fig.3.3. Relația  $\varphi$ - $i$  pentru o spirală în mediu neliniar.

### Exemplul 1

*Energia și coenergia câmpului magnetic al unei spire.* Să presupunem că relația dintre fluxul magnetic și curentul electric al spirei este neliniară (Fig.3.3). Energia câmpului magnetic pentru fluxul  $\Phi$  al spirei este (3.3):

$$W_m = \int_0^{\Phi} i d\varphi$$

Valoarea energiei câmpului magnetic este dată de aria suprafeței cuprinsă între grafic și axa  $o\varphi$ .

Coenergia câmpului magnetic este (3.7):

$$W_m^* = \int_0^I \varphi di$$

Valoarea coenergiei câmpului magnetic este dată de aria suprafeței cuprinse între grafic și axa  $oi$ . În cazul mediului liniar, avem:

$$W_m = W_m^* = \frac{1}{2} \Phi I = \frac{1}{2} L I^2 = \frac{1}{2} \frac{\Phi^2}{L} \quad (3.9)$$

### Exemplul 2

*Energia și coenergia câmpului magnetic a două spire cuplate magnetic.*

Presupunem că mediul este liniar. Atunci, conform relațiilor (3.4) și (3.8), avem:

$$W_m = W_m^* = \frac{1}{2}(\Phi_1 I_1 + \Phi_2 I_2) \quad (3.10)$$

Dacă ținem cont de relațiile lui Maxwell pentru inductivități (2.2), atunci avem:

$$W_m = W_m^* = \frac{1}{2}(L_{11}I_1^2 + L_{22}I_2^2) + L_{12}I_1I_2 \quad (3.11)$$

Primul termen din membrul drept se mai numește energie (coenergie) magnetică proprie:

$$W_{m_p} = W_{m_p}^* = \frac{1}{2}(L_{11}I_1^2 + L_{22}I_2^2)$$

în timp ce al doilea se numește energie (coenergie) magnetică de interacțiune:

$$W_{m_i} = W_{m_i}^* = L_{12}I_1I_2$$

### ***Simetria matricei inductivitatilor***

Deoarece relația (3.6) este o diferențială totală exactă, sunt valabile relațiile:

$$\varphi_k = \frac{\partial W_m^*}{\partial I_k} \quad \text{și} \quad \varphi_j = \frac{\partial W_m^*}{\partial I_j} \quad (3.12)$$

Relatiilor dintre curenții și fluxurile magnetice ale spirelor (2.2) sunt:

$$\varphi_k = \sum_{j=1}^n L_{kj} i_j, \quad k=1,2,\dots,n \quad (2.2)$$

Deci

$$L_{kj} = \frac{\partial \varphi_k}{\partial \tilde{a}_j} \text{ si } L_{jk} = \frac{\partial \varphi_j}{\partial \tilde{a}_k} \quad (3.13)$$

Din relatiile (3.12) si (3.13) rezulta:

$$L_{kj} = L_{jk} \quad (3.14)$$

Deci, matricea inductivităților este simetrică.

Dacă relația de reciprocitate (3.14) nu este îndeplinită, atunci nu poate fi definită coenergia câmpului magnetic.

### 3.3. Densitatea de volum a energiei și a coenergiei

Dacă fluxurile bobinelor au o mică creștere  $d\varphi_k$ , atunci și mărimile  $\mathbf{H}, \mathbf{B}$  din domeniul  $\Omega$  au mici creșteri  $\delta\mathbf{H}, \delta\mathbf{B}$ . Se poate arata /1/ că variația densității de volum a energiei câmpului magnetic este:

$$\delta w_m = \mathbf{H} \cdot \delta\mathbf{B} = H_x \delta B_x + H_y \delta B_y + H_z \delta B_z \quad (3.15)$$

iar densitatea de volum a energiei campului magnetic este:

$$w_m = \int_0^{\mathbf{B}} \mathbf{H} \cdot \delta\mathbf{B} \quad (3.16)$$

In relatia (3.16) avem o integrala curbilinie de a 2-a speta, asemnatoare cu cea care defineste lucrul mecanic sau tensiunea magnetica. Spatiul pe care se face integrala are coordonatele  $B_x, B_y, B_z$ , asemanator cu spatial  $xyz$ , in care se defineste lucrul

mechanic. Rezultatul integralei nu depinde de drum, in caz contrar, densitatea de energie a campului magnetic nu poate fi definita. Deci integrantul  $\mathbf{H} \cdot \delta \mathbf{B}$  este diferentia totala exacta.

Variația densității de volum a coenergiei câmpului magnetic se definește prin

$$\delta w_m^* = \delta(\mathbf{B} \cdot \mathbf{H}) - \delta w_m \quad (3.17)$$

si tinand cont de (3.15), rezulta:

$$\delta w_m^* = \mathbf{B} \cdot \delta \mathbf{H} = B_x \delta H_x + B_y \delta H_y + B_z \delta H_z \quad (3.18)$$

Fiind diferenta dintre doua differentiale totale exacte, expresia (3.18) este tot diferentia totala exacta. Densitatea de volum a coenergiei campului magnetic este deci:

$$w_m^* = \int_0^{\mathbf{H}} \mathbf{B} \cdot \delta \mathbf{H} dv \quad (3.19)$$

În cazul în care mediul este liniar:

$$w_m = w_m^* = \frac{1}{2} \mathbf{B} \cdot \mathbf{H} = \frac{1}{2} \mu H^2 = \frac{1}{2} \frac{B^2}{\mu} \quad (3.20)$$

***Matricea inductivităților ( $L$ ) este pozitiv definită***

Matriceal, relațiile dintre fluxurile magnetice și curenții unor spire perfect conductoare sunt  $\Phi = LI$ . Energia campului magnetic este data de relația (3.4) și tinând cont de expresia densității de volum a energiei, în domeniul  $\Omega$  avem

$$W_m = \frac{1}{2} \sum_k I_k \Phi_k = \frac{1}{2} I^T \Phi = \frac{1}{2} I^T LI = \frac{1}{2} \int_{\Omega} \frac{B^2}{\mu} dv > 0$$

Deci  $I^T LI > 0$ .



### ***Simetria tensorului permeabilitatii magnetice***

In cazul mediilor liniare anizotrope, relatia dintre inductia magnetica **B** si intensitatea campului magnetic **H** este, intr-un system de coordonate carteziene:

$$\begin{bmatrix} B_x \\ B_y \\ B_z \end{bmatrix} = \begin{bmatrix} \mu_{xx} & \mu_{xy} & \mu_{xz} \\ \mu_{yx} & \mu_{yy} & \mu_{yz} \\ \mu_{zx} & \mu_{zy} & \mu_{zz} \end{bmatrix} \begin{bmatrix} H_x \\ H_y \\ H_z \end{bmatrix} \quad (2.9c')$$

Pentru  $B_x$  si  $B_y$  avem:

$$B_x = \mu_{xx} H_x + \mu_{xy} H_y + \mu_{xz} H_z$$

$$B_y = \mu_{yx} H_x + \mu_{yy} H_y + \mu_{yz} H_z$$

Deci:

$$\mu_{xy} = \frac{\partial B_x}{\partial H_y} \quad (3.21)$$

si

$$\mu_{yx} = \frac{\partial B_y}{\partial H_x} \quad (3.22)$$

Deoarece (3.18) este differentiala totale exacta, avem:

$$B_x = \frac{\partial w_m^*}{\partial H_x} \quad (3.23)$$

si

$$B_y = \frac{\partial w_m^*}{\partial H_y} \quad (3.24)$$

Introducand (3.23) in (3.21) si (3.24) in (3.22), rezulta:

$$\mu_{xy} = \frac{\partial^2 w_m^*}{\partial H_y \partial H_x} \text{ si } \mu_{yx} = \frac{\partial^2 w_m^*}{\partial H_x \partial H_y}$$

Deci  $\mu_{xy} = \mu_{yx}$ .

### 3.4. Forțe generalizate în câmp magnetic

Vom proceda la fel ca în cazul forțelor generalizate de natură electrică. Pentru a calcula forțele ce se exercită asupra unui corp în câmp magnetic, lăsăm acel corp să se deplaseze în direcția forței pe o mică distanță  $\delta x$  și determinăm lucrul mecanic astfel obținut (Fig.3.4). Energia pe care o primește sistemul format din câmp magnetic și corpuri este dată de relația (3.1). Ea se consumă atât pentru creșterea energiei câmpului magnetic, cât și pentru lucrul mecanic efectuat de corpuri în deplasarea lui:

$$\sum_{k=1}^n i_k d\varphi_k = dW_m + F_x \delta x \quad (3.25)$$

Dacă impunem ca, în timpul deplasării corpului, ca fluxurile spirelor să fie constante, avem:

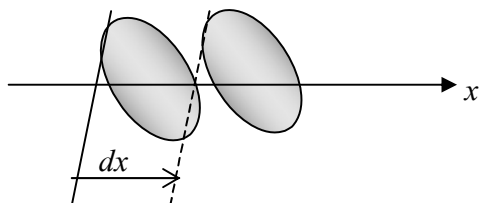


Fig. 3.4. Mică deplasare pe direcția  $x$ .

$$F_x = - \left. \frac{\partial W_m}{\partial x} \right|_{\varphi_k = ct, k=1,2,\dots,n} \quad (3.26)$$

*Observații:* a) În relația (3.26),  $F_x$  și  $dx$  pot fi orice cuplu de mărimi al căror produs este lucru mecanic. De exemplu:

forță inerțială - deplasare, cuplu - unghi, presiune - volum etc. Din acest motiv,  $F_x$  se numește forță generalizată, iar  $dx$ , coordonată generalizată. Relația (3.26) se numește prima formulă a forțelor generalizate în câmp magnetic.

b) În relația (3.26), energia câmpului magnetic apare ca funcție de variabilele de stare  $\varphi_k$ . Coordonata generalizată  $x$  apare ca parametru.

c) Condiția ca fluxurile spirelor  $\varphi_k$  să fie constante este o condiție teoretică. Dar ea este îndeplinită pentru spire perfect conductoare. Într-adevăr, oricare ar fi suprafața  $S_k$  cu bordura  $\partial S_k$  pe suprafața spirei  $k$ , din legea inducției electromagnetice rezultă că:

$$\frac{\partial \varphi_k}{\partial t} = - \oint_{\partial S_k} \mathbf{E} \cdot d\mathbf{r} = 0$$

deoarece în mediul perfect conductor  $\mathbf{E} = \mathbf{0}$ .

În relația (3.25), înlocuim energia cu coenergia folosind relația (3.5) și obținem:

$$\sum_{k=1}^n i_k d\varphi_k = d \left( \sum_{k=1}^n i_k \varphi_k \right) - dW_m^* + F_x \delta x$$

dezvoltand diferenciala  $d \left( \sum_{k=1}^n i_k \varphi_k \right)$  și simplificand suma  $\sum_{k=1}^n i_k d\varphi_k$ , rezulta

$$0 = -dW_m^* + \sum_{k=1}^n \varphi_k di_k + F_x \delta x$$

Dacă impunem ca, în timpul deplasării corpului, curenții spirelor să fi constanți, avem:

$$F_x = \left. \frac{\partial W_m^*}{\partial x} \right|_{\substack{i_k = ct \\ k=1,2,\dots,n}} \quad (3.27)$$

*Observații:* a) Relația (3.27) este a doua formulă a forțelor generalizate în câmp magnetic.

b) În relația (3.27), coenergia câmpului magnetic apare ca funcție de variabilele de stare  $i_k$ . Coordonata generalizată  $x$  apare ca parametru.

c) Condiția de a avea curenții spirelor  $i_k$  constanți este o condiție teoretică. Practic, ea poate fi îndeplinită dacă plasăm în fiecare spirală o sursă de curent.

***Observație.*** În Partea VI se va arata că forțele în câmp magnetic se pot determina ușor determinând fluxul tensorului Maxwell pe o suprafață închisă ce înconjoară corpul asupra căruia se exercită forța. Utilizarea tensorului Maxwell nu necesită determinarea energiei câmpului magnetic și nu este necesară derivarea în raport cu coordonata  $x$ . În calculele numerice, determinarea derivatelor este dificilă.

## ***4. CIRCUITE MAGNETICE***

Una din cele mai simple și eficiente metode de a aprecia câmpul magnetic într-o instalație electrotehnică este de a adopta, atunci când este posibil, un model de circuit magnetic, care poate fi ușor analizat prin metodele utilizate la circuitele de curent continuu. Procedura permite obținerea rapidă a unor rezultate calitative necesare dimensionării instalațiilor. Din păcate, de multe ori, aproximațiile făcute prin adoptarea modelului de circuit magnetic sunt destul de grosolane și atunci, pentru o analiză mai fină a câmpului magnetic, sunt folosite metode numerice mai sofisticate. O analiză detaliată a acestor metode nu intră în obiectivele acestui curs.

## 4.1. Latura de circuit magnetic

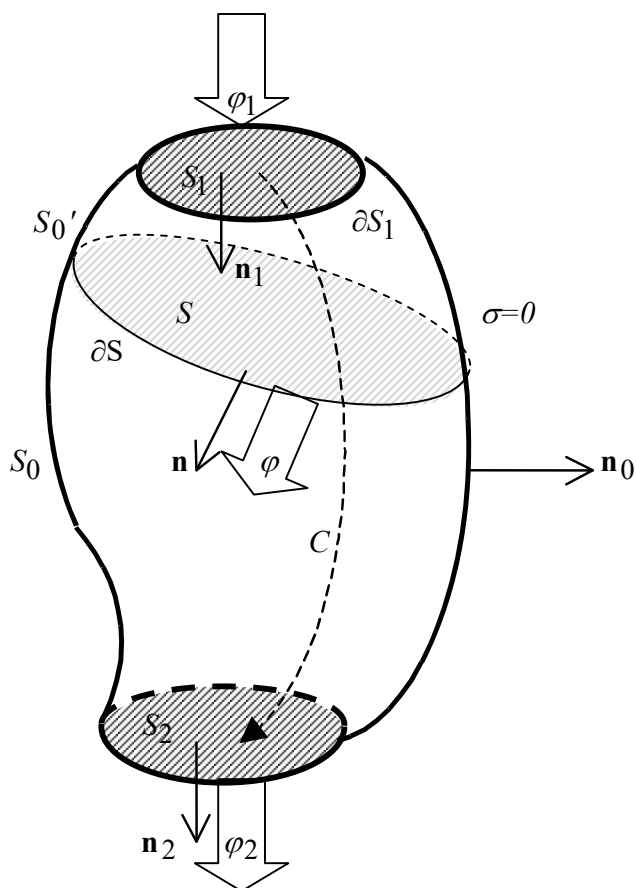


Fig. 4.1. Latură de circuit magnetic.

Fie un domeniu  $\Omega$ , fără curent electric ( $\mathbf{J}=0$ ), cu frontiera  $\partial\Omega$  (Fig.4.1), unde câmpul magnetic ( $\mathbf{B}, \mathbf{H}$ ) verifică următoarele condiții de frontieră:

( $\alpha$ ) pe suprafețele disjuncte  $S_1, S_2 \subset \partial\Omega$ , componenta tangențială a intensității câmpului magnetic  $\mathbf{H}$  este nulă;

( $\beta$ ) pe restul frontierei  $S_0$ , componenta normală a inducției magnetice  $\mathbf{B}$  este nulă.

Domeniul conductor  $\Omega$  cu condițiile de frontieră ( $\alpha$ ), ( $\beta$ ) se numește **latură de circuit magnetic**.

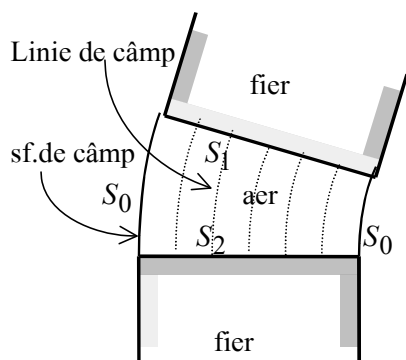


Fig.4.2. Întrefier.

**magnetic.**

*Observații:* a) Din punct de vedere tehnic, condiția de frontieră ( $\alpha$ ) poate fi realizată atunci când suprafețele  $S_1, S_2$  învecinează domeniul  $\Omega$  cu un mediu mult mai bun conductor magnetic decât cel din  $\Omega$

( $\mu_{ext} \gg \mu_{\Omega}$ ), sau când structura studiată ne permite să admitem, apriori, că aceste suprafețe sunt ortogonale pe  $\mathbf{H}$  (pot fi considerate suprafețe echipotențiale). Un exemplu din prima categorie ar putea fi marginile feromagnetice ale unui întrefier (Fig.4.2). Un exemplu din a doua categorie ar putea fi secțiunile transversale “ortogonale” dintr-un tub de flux (Fig.4.3).

b) Din punct de vedere tehnic, condiția de frontieră ( $\beta$ ) poate fi realizată atunci când suprafața  $S_0$  învecinează domeniul  $\Omega$  cu un mediu mult mai slab conductor magnetic decât cel din  $\Omega$  ( $\mu_{ext} \ll \mu_{\Omega}$ ) sau când structura studiată ne permite să admitem, a priori, că aceste suprafețe sunt suprafețe de câmp pentru  $\mathbf{B}$ . Un exemplu din prima categorie ar putea fi marginile ce învecinează o piesă feromagnetică (Fig.4.3) de aerul din jurul ei. Un exemplu din a doua categorie ar putea fi marginile unui tub de flux (Fig.4.2).

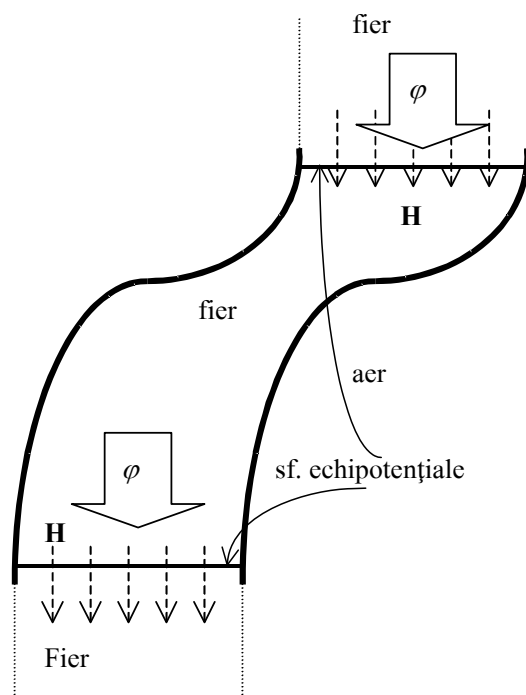


Fig.4.3. Suprafețe echipotențiale.

c) Deoarece în  $\Omega$  avem  $rot\mathbf{H}=0$ , rezultă că este valabilă teorema potențialului magnetic scalar  $V_m$ . Din condiția de frontieră ( $\alpha$ ), rezultă că suprafețele  $S_1, S_2$  sunt echipotențiale magnetic. Ele se numesc borne. Notăm cu  $V_{m1}$  și  $V_{m2}$  potențialele bornelor.

d) Este bine definită tensiunea magnetică a laturii de circuit magnetic  $u_m$  ca fiind tensiunea magnetică pe orice

curbă  $C$  care leagă cele două borne. Avem:

$$u_m = \int_C \mathbf{H} \cdot d\mathbf{l} = V_{m1} - V_{m2}$$

e) Este bine definit fluxul magnetic al laturii de circuit magnetic, numit *flux fascicular*, ca fiind fluxul magnetic prin orice secțiune transversală  $S$  a laturii de circuit magnetic. Într-adevăr, fie suprafața închisă  $\Sigma = S_1 \cup S \cup S_0'$ , unde  $S_0'$  este porțiunea din suprafața  $S_0$  mărginită de bordurile  $\partial S_1$  și  $\partial S$  ale suprafețelor  $S_1$  și, respectiv,  $S$  (Fig.4.1). Din legea fluxului magnetic, aplicată acestei suprafețe, rezultă:

$$-\int_{S_1} \mathbf{B} \cdot \mathbf{n}_1 dS + \int_S \mathbf{B} \cdot \mathbf{n} dS + \int_{S_0'} \mathbf{B} \cdot \mathbf{n}_0 dS = 0$$

Ținând cont de condiția de frontieră ( $\beta$ ), rezultă:

$$\int_{S_1} \mathbf{B} \cdot \mathbf{n}_1 dS = \int_S \mathbf{B} \cdot \mathbf{n} dS$$

sau:

$$\varphi_1 = \varphi$$

În particular, dacă  $S = S_2$ , atunci:

$$\varphi_1 = \varphi_2 = \varphi$$

**Reluctanța laturii de circuit magnetic.** Conform teoremei de unicitate a câmpurilor staționare (/1/ Anexa B), dacă se dă fluxul lui  $\mathbf{B}$  prin una dintre suprafețele  $S_1$  sau  $S_2$ , adică dacă se dă fluxul fascicular  $\varphi$  al laturii de circuit magnetic, atunci câmpul magnetic ( $\mathbf{B}, \mathbf{H}$ ) este unic determinat și deci tensiunea magnetică  $u_m$  este unic determinată. Este deci bine definită funcția:

$$\varphi \rightarrow u_m = f(\varphi) \quad (4.1)$$

Pentru medii liniare, funcția  $f$  este liniară și relația (4.1) devine:

$$u_m = R_m \varphi \quad (4.2)$$

unde  $R_m$  este reluctanța laturii de circuit magnetic. În maniera de la Partea a III-a, Cap.2 (Rezistorul), se poate arăta că  $R_m > 0$ . Inversa reluctanței se numește permeanță:

$$\Lambda = \frac{1}{R_m}$$

### Analogia cu rezistorul.

Comparând definiția și proprietățile laturii de circuit magnetic de la acest paragraf cu definiția și proprietățile rezistorului (Partea III-a, Cap.2), se văd imediat corespondențele:

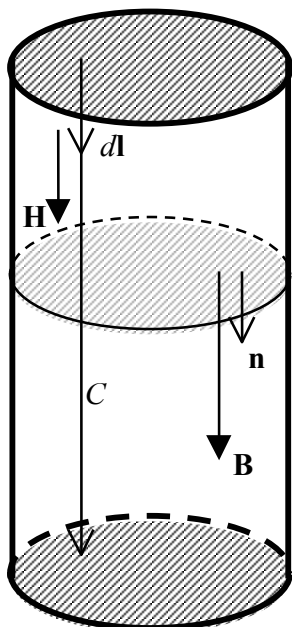


Fig.4.4. Latură de circuit magnetic

Latură de circuit magnetic	Rezistor
<b>H</b>	<b>E</b>
$rot\mathbf{H}=0$	$rot\mathbf{E}=0$
<b>B</b>	<b>J</b>
$div\mathbf{B}=0$	$div\mathbf{J}=0$
$\mu$	$\sigma$
$u_m$	$u$
$V_m$	$V$
$\varphi$	$i$
$R_m$	$R$
$\Lambda$	$G$



**Aplicație.** În baza acestei analogii rezultă că reluctanța unei laturi de circuit magnetic de formă cilindrică (Fig.4.4), de lungime  $l$ , cu aria secțiunii transversale  $A$ , format dintr-un mediu omogen, de permeabilitate  $\mu$  este:

$$R_m = \frac{l}{\mu A} \quad (4.3)$$